

Métodos numéricos

Pablo Dmitruk

2do cuatrimestre 2021 - DF/FCEN/UBA

continuamos con....

Método de Volúmenes Finitos (FVM)

→ se usa fuertemente en fluidos → *Dinámica de Fluidos Computacional (CFD)*

Forma alternativa:
ecs en términos de la
vorticidad-función
corriente (solo en 2D)

Ecuaciones de Navier-Stokes para un flujo incompresible 2D

$$\frac{\partial v_x}{\partial t} + v_x \frac{\partial v_x}{\partial x} + \underbrace{v_y \frac{\partial v_x}{\partial y}}_{(\mathbf{v} \cdot \nabla) v_x} = -\frac{1}{\rho} \frac{\partial p}{\partial x} + \nu \nabla^2 v_x$$

$$\frac{\partial v_y}{\partial t} + v_x \frac{\partial v_y}{\partial x} + \underbrace{v_y \frac{\partial v_y}{\partial y}}_{(\mathbf{v} \cdot \nabla) v_y} = -\frac{1}{\rho} \frac{\partial p}{\partial y} + \nu \nabla^2 v_y$$

$$\nabla \cdot \mathbf{v} = \frac{\partial v_x}{\partial x} + \frac{\partial v_y}{\partial y} = 0 \quad (\text{incompresibilidad})$$

Se extiende fácilmente al caso 3D

$$\frac{\partial \mathbf{v}}{\partial t} + (\mathbf{v} \cdot \nabla) \mathbf{v} = -\frac{1}{\rho} \nabla p + \nu \nabla^2 \mathbf{v}$$

tomando div

$$\nabla^2 p = -\rho \nabla \cdot [(\mathbf{v} \cdot \nabla) \mathbf{v}]$$

Podemos reescribir las ecs de esta forma

$$\frac{\partial v_x}{\partial t} + \nabla \cdot (v_x \mathbf{v}) = -\frac{1}{\rho} \nabla \cdot (p \hat{\mathbf{x}}) + \nu \nabla \cdot (\nabla v_x)$$

$$\nabla \cdot \mathbf{v} = 0$$

$$\frac{\partial v_y}{\partial t} + \nabla \cdot (v_y \mathbf{v}) = -\frac{1}{\rho} \nabla \cdot (p \hat{\mathbf{y}}) + \nu \nabla \cdot (\nabla v_y)$$

Integramos en volumen (y aplicamos Gauss)

$$\frac{\partial}{\partial t} \int_V v_x dV = - \int_S v_x \mathbf{v} \cdot \hat{\mathbf{n}} dS - \frac{1}{\rho} \int_S p n_x dS + \int_S \nu \nabla v_x \cdot \hat{\mathbf{n}} dS$$

$$\frac{\partial}{\partial t} \int_V v_y dV = - \int_S v_y \mathbf{v} \cdot \hat{\mathbf{n}} dS - \frac{1}{\rho} \int_S p n_y dS + \int_S \nu \nabla v_y \cdot \hat{\mathbf{n}} dS$$

$$\int_S \mathbf{v} \cdot \hat{\mathbf{n}} dS = 0$$

flujos

Lo que se hace es resolver primero para el campo de velocidades “sin la presión” y calcular posteriormente la presión para satisfacer la condición de divergencia nula (incompresibilidad) y luego actualizar el campo de velocidad con el gradiente de esta presión obtenida en el paso previo

→ se llama **método de proyección**

(también se lo conoce con el nombre de algoritmo SIMPLE)

Para fijar ideas, supongamos hacemos Euler en el tiempo y llamemos $A_{i,j}$ al término advectivo

y $D_{i,j}$ al término difusivo. El esquema sería:

$$\frac{\tilde{\mathbf{v}}_{i,j} - \mathbf{v}_{i,j}^n}{\Delta t} = -\mathbf{A}_{i,j}^n + \mathbf{D}_{i,j}^n \quad (\text{paso 1})$$

$$\frac{\mathbf{v}_{i,j}^{n+1} - \tilde{\mathbf{v}}_{i,j}}{\Delta t} = -\frac{1}{\rho} \nabla p \quad (\text{paso 3})$$

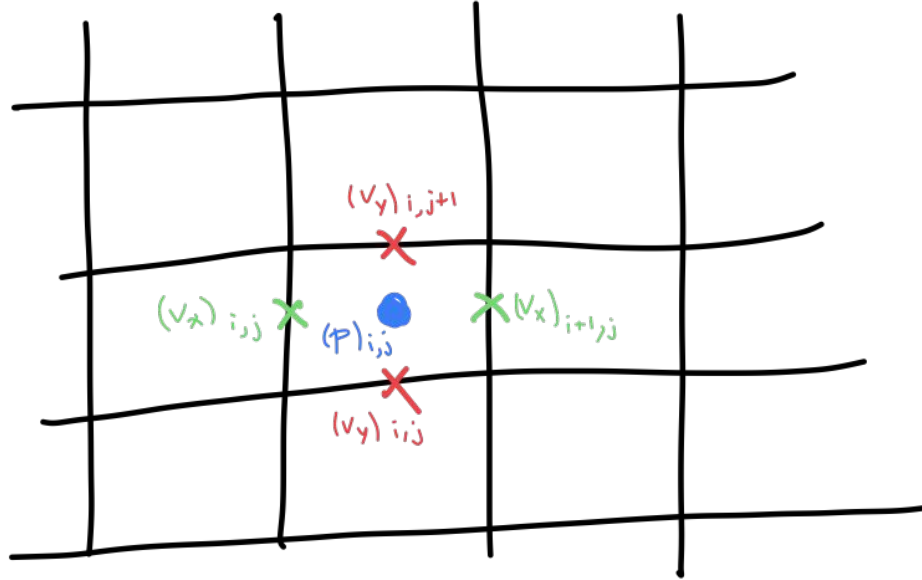
(paso 2)

donde p la obtenemos de la condición (al tomar divergencia)

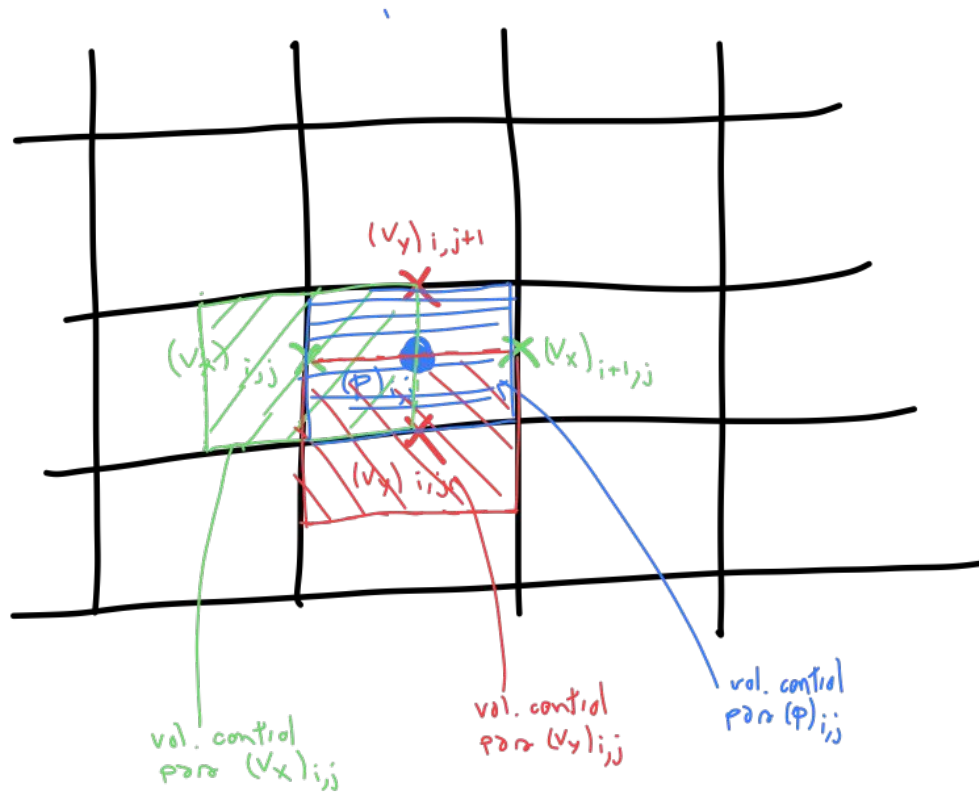
$$\frac{\nabla \cdot \mathbf{v}_{i,j}^{n+1} - \nabla \cdot \tilde{\mathbf{v}}_{i,j}}{\Delta t} = \frac{-\nabla \cdot \tilde{\mathbf{v}}_{i,j}}{\Delta t} = -\frac{1}{\rho} \nabla^2 p$$

Se utiliza una grilla *escalonada = staggered*

→ el campo de velocidades y la presión se expresan en distintas grillas



y se usan correspondientes celdas de control



Para la parte “sin la presión” planteamos

$$\frac{\partial}{\partial t} \int_V \tilde{v}_x dV = - \int_S v_x \mathbf{v} \cdot \hat{\mathbf{n}} dS + \int_S \nu \nabla v_x \cdot \hat{\mathbf{n}} dS$$

$$\frac{\partial}{\partial t} \int_V \tilde{v}_y dV = - \int_S v_y \mathbf{v} \cdot \hat{\mathbf{n}} dS + \int_S \nu \nabla v_y \cdot \hat{\mathbf{n}} dS$$

y en la versión discreta,

$$\frac{\tilde{\mathbf{v}}_{x_{i,j}} - \mathbf{v}_{x_{i,j}}}{\Delta t} \Delta x \Delta y = (v_x v_x)_o \Delta y - (v_x v_x)_e \Delta y + (v_x v_y)_s \Delta x - (v_x v_y)_n \Delta x + \nu \left[\left. \frac{\partial v_x}{\partial x} \right|_e \Delta y - \left. \frac{\partial v_x}{\partial x} \right|_o \Delta y + \left. \frac{\partial v_x}{\partial y} \right|_n \Delta x - \left. \frac{\partial v_x}{\partial y} \right|_s \Delta x \right]$$

$$\frac{\tilde{\mathbf{v}}_{y_{i,j}} - \mathbf{v}_{y_{i,j}}}{\Delta t} \Delta x \Delta y = (v_y v_x)_o \Delta y - (v_y v_x)_e \Delta y + (v_y v_y)_s \Delta x - (v_y v_y)_n \Delta x + \nu \left[\left. \frac{\partial v_y}{\partial x} \right|_e \Delta y - \left. \frac{\partial v_y}{\partial x} \right|_o \Delta y + \left. \frac{\partial v_y}{\partial y} \right|_n \Delta x - \left. \frac{\partial v_y}{\partial y} \right|_s \Delta x \right]$$

Los valores de las velocidades los planteamos como

$$(v_x)_e = \frac{(v_x)_{i+1,j} + (v_x)_{i,j}}{2} \quad (v_x)_o = \frac{(v_x)_{i,j} + (v_x)_{i-1,j}}{2} \quad (v_x)_n = \frac{(v_x)_{i,j+1} + (v_x)_{i,j}}{2} \quad (v_x)_s = \frac{(v_x)_{i,j} + (v_x)_{i,j-1}}{2}$$

$$(v_y)_e = \frac{(v_y)_{i+1,j} + (v_y)_{i,j}}{2} \quad (v_y)_o = \frac{(v_y)_{i,j} + (v_y)_{i-1,j}}{2} \quad (v_y)_n = \frac{(v_y)_{i,j+1} + (v_y)_{i,j}}{2} \quad (v_y)_s = \frac{(v_y)_{i,j} + (v_y)_{i,j-1}}{2}$$

y los gradientes como

$$\left. \frac{\partial v_x}{\partial x} \right|_e = \frac{(v_x)_{i+1,j} - (v_x)_{i,j}}{\Delta x} \quad \left. \frac{\partial v_x}{\partial x} \right|_o = \frac{(v_x)_{i,j} - (v_x)_{i-1,j}}{\Delta x} \quad \left. \frac{\partial v_x}{\partial y} \right|_n = \frac{(v_x)_{i,j+1} - (v_x)_{i,j}}{\Delta y} \quad \left. \frac{\partial v_x}{\partial y} \right|_s = \frac{(v_x)_{i,j} - (v_x)_{i,j-1}}{\Delta y}$$

$$\left. \frac{\partial v_y}{\partial x} \right|_e = \frac{(v_y)_{i+1,j} - (v_y)_{i,j}}{\Delta x} \quad \left. \frac{\partial v_y}{\partial x} \right|_o = \frac{(v_y)_{i,j} - (v_y)_{i-1,j}}{\Delta x} \quad \left. \frac{\partial v_y}{\partial y} \right|_n = \frac{(v_y)_{i,j+1} - (v_y)_{i,j}}{\Delta y} \quad \left. \frac{\partial v_y}{\partial y} \right|_s = \frac{(v_y)_{i,j} - (v_y)_{i,j-1}}{\Delta y}$$

La presión la obtenemos de $\nabla^2 p = \frac{\rho \nabla \cdot \tilde{\mathbf{v}}_{i,j}}{\Delta t}$

Lo podemos pensar cómo el resultado de aplicar FVM en la ec. de Poisson para la presión

$$\frac{p_{i-1,j} - 2p_{i,j} + p_{i+1,j}}{(\Delta x)^2} + \frac{p_{i,j-1} - 2p_{i,j} + p_{i,j+1}}{(\Delta y)^2} = \frac{\rho}{\Delta t} \left[\frac{(\tilde{v}_x)_{i+1,j} - (\tilde{v}_x)_{i,j}}{\Delta x} + \frac{(\tilde{v}_y)_{i,j+1} - (\tilde{v}_y)_{i,j}}{\Delta y} \right]$$

y finalmente actualizamos el campo de velocidades con el gradiente de la presión,

$$\frac{(v_x)_{i,j}^{n+1} - (\tilde{v}_x)_{i,j}}{\Delta t} = -\frac{1}{\rho} \frac{p_{i+1,j} - p_{i,j}}{\Delta x}$$

(lo podemos obtener de aplicar FVM en la ec. del gradiente de presión integrada en la celda de velocidad)

$$\frac{(v_y)_{i,j}^{n+1} - (\tilde{v}_y)_{i,j}}{\Delta t} = -\frac{1}{\rho} \frac{p_{i,j+1} - p_{i,j}}{\Delta y}$$

Lo resolvemos cómo un problema de matrices → Poisson

Cómo considerar los bordes (si las c.c. no son periódicas)

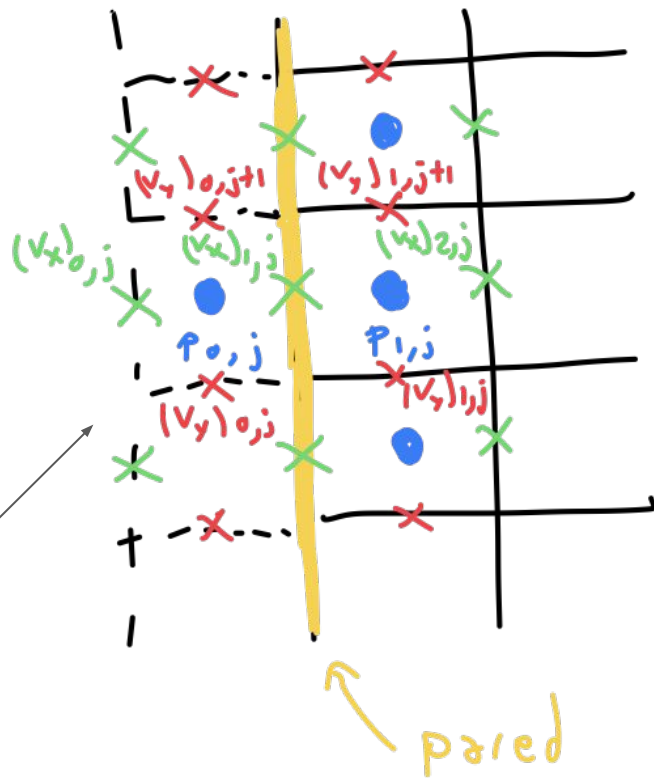
$$v_x|_{pared} = 0 \quad v_y|_{pared} = v_p$$

$$(v_x)_{1,j} = 0 \quad \forall j$$

$$\frac{(v_y)_{1,j} + (v_y)_{0,j}}{2} = v_p, \quad \forall j$$

Idem en las otras paredes

celdas "fantasma"



Para la c.c. de la presión se hace lo siguiente:

De la ec. de continuidad ($\text{div } \mathbf{v} = 0$)

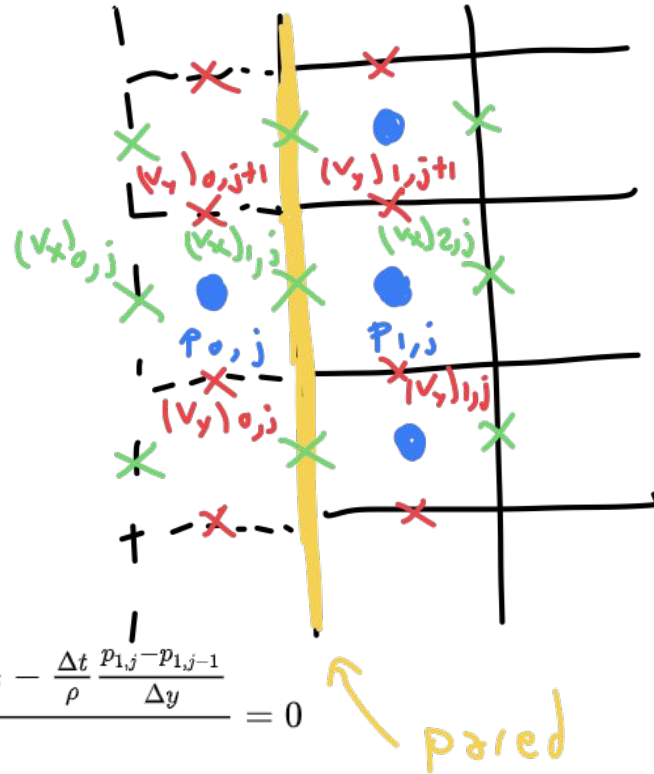
$$\frac{(v_x)_{2,j}^{n+1} - (v_x)_{1,j}^{n+1}}{\Delta x} + \frac{(v_y)_{1,j+1}^{n+1} - (v_y)_{1,j}^{n+1}}{\Delta y} = 0$$

$$(v_x)_{1,j}^{n+1} = 0 \quad \Rightarrow \quad \frac{(v_x)_{2,j}^{n+1}}{\Delta x} + \frac{(v_y)_{1,j+1}^{n+1} - (v_y)_{1,j}^{n+1}}{\Delta y} = 0$$

$$(v_x)_{i,j}^{n+1} = (\tilde{v}_x)_{i,j} - \frac{\Delta t}{\rho} \frac{\partial p}{\partial x} \Big|_{i,j}$$

$$\Rightarrow \frac{(\tilde{v}_x)_{2,j} - \frac{\Delta t}{\rho} \frac{p_{2,j} - p_{1,j}}{\Delta x}}{\Delta x} + \frac{(\tilde{v}_y)_{1,j+1} - \frac{\Delta t}{\rho} \frac{p_{1,j+1} - p_{1,j}}{\Delta y} + (\tilde{v}_y)_{1,j} - \frac{\Delta t}{\rho} \frac{p_{1,j} - p_{1,j-1}}{\Delta y}}{\Delta y} = 0$$

$$\Rightarrow \frac{p_{2,j} - p_{1,j}}{(\Delta x)^2} + \frac{p_{1,j+1} - 2p_{1,j} + p_{1,j-1}}{(\Delta y)^2} = \frac{\rho}{\Delta t} \left[\frac{(\tilde{v}_x)_{2,j}}{\Delta x} + \frac{(\tilde{v}_y)_{1,j+1} - (\tilde{v}_y)_{1,j}}{\Delta y} \right]$$



Una alternativa para NS incompresible en 2D: [formulación de la vorticidad-función corriente](#)

$$\frac{\partial v_x}{\partial t} + v_x \frac{\partial v_x}{\partial x} + v_y \frac{\partial v_x}{\partial y} = -\frac{1}{\rho} \frac{\partial p}{\partial x} + \nu \nabla^2 v_x$$

$$\frac{\partial v_y}{\partial t} + v_x \frac{\partial v_y}{\partial x} + v_y \frac{\partial v_y}{\partial y} = -\frac{1}{\rho} \frac{\partial p}{\partial y} + \nu \nabla^2 v_y$$

$$\mathbf{v} = v_x(x, y, t) \hat{\mathbf{x}} + v_y(x, y, t) \hat{\mathbf{y}}$$

$$\nabla p$$

$$\frac{\partial \mathbf{v}}{\partial t} + (\mathbf{v} \cdot \nabla) \mathbf{v} = -\frac{1}{\rho} \nabla p + \nu \nabla^2 \mathbf{v}$$

Definimos la **vorticidad** $\mathbf{w} = \nabla \times \mathbf{v} = \left(\frac{\partial v_y}{\partial x} - \frac{\partial v_x}{\partial y} \right) \hat{\mathbf{z}}$

Tomando rotor en NS resulta:

$$\frac{\partial w_z}{\partial t} + v_x \frac{\partial w_z}{\partial x} + v_y \frac{\partial w_z}{\partial y} = \nu \nabla^2 w_z$$

Por otro lado, de la incompresibilidad, $\nabla \cdot \mathbf{v} = \frac{\partial v_x}{\partial x} + \frac{\partial v_y}{\partial y} = 0$

que se satisface automáticamente definiendo la función corriente, $v_x = \frac{\partial \psi}{\partial y}$, $v_y = -\frac{\partial \psi}{\partial x}$

Reemplazando en la ec. de vorticidad queda,

$$\frac{\partial w_z}{\partial t} + \frac{\partial \psi}{\partial y} \frac{\partial w_z}{\partial x} - \frac{\partial \psi}{\partial x} \frac{\partial w_z}{\partial y} = \nu \nabla^2 w_z$$

$\nearrow [w_z, \psi] \rightarrow$ corchete Poisson

y además $w_z = -\nabla^2 \psi$

\uparrow
sale de $w_z = \frac{\partial v_y}{\partial x} - \frac{\partial v_x}{\partial y}$

Se resuelve evolucionando la ec. de vorticidad,

$$\frac{\partial w_z}{\partial t} = -\frac{\partial \psi}{\partial y} \frac{\partial w_z}{\partial x} + \frac{\partial \psi}{\partial x} \frac{\partial w_z}{\partial y} + \nu \nabla^2 w_z$$

discretizando las derivadas (en grilla centrada = “colocada”)

$$\frac{\partial \psi}{\partial y} \simeq \frac{\psi_{i,j+1} - \psi_{i,j-1}}{2\Delta y} \quad \frac{\partial \psi}{\partial x} \simeq \frac{\psi_{i+1,j} - \psi_{i-1,j}}{2\Delta x}$$

$$\frac{\partial w_z}{\partial y} \simeq \frac{(w_z)_{i,j+1} - (w_z)_{i,j-1}}{2\Delta y} \quad \frac{\partial w_z}{\partial x} \simeq \frac{(w_z)_{i+1,j} - (w_z)_{i-1,j}}{2\Delta x}$$

$$\nabla^2 w_z \simeq \frac{(w_z)_{i+1,j} + (w_z)_{i-1,j} - 2(w_z)_{i,j}}{(\Delta x)^2} + \frac{(w_z)_{i,j+1} + (w_z)_{i,j-1} - 2(w_z)_{i,j}}{(\Delta y)^2}$$

y la función corriente debe satisfacer una ec. de Poisson $\nabla^2 \psi = -w_z$

→ se resuelve con algún método iterativo

Comentario extra: [slope/flux limiters](#) → se usan en FVM cuando hay **gradientes fuertes** de las cantidades

Idea (en 1D)

$$\frac{\partial u_i}{\partial t} = \frac{1}{\Delta x} [F(u_{i+1/2}) - F(u_{i-1/2})]$$

flujos

Se propone:

$$F(u_{i+1/2}) = f_{i+1/2}^{baja} - \phi(r_i) (f_{i+1/2}^{baja} - f_{i+1/2}^{alta})$$

$$F(u_{i-1/2}) = f_{i-1/2}^{baja} - \phi(r_{i-1}) (f_{i-1/2}^{baja} - f_{i-1/2}^{alta})$$

f^{baja} = flujo de baja resolución

f^{alta} = flujo de alta resolución

$\phi(r)$ = limitador de flujo

$$r_i = \frac{u_i - u_{i-1}}{u_{i+1} - u_i}$$

limitador "Charm"



$$\phi(r) = \frac{r(3r+1)}{(r+1)^2}, \quad r \geq 0$$

$$\phi(r) = 0, \quad r < 0$$

$$\phi(r) \geq 0$$

$\phi(r) = 0$ → se usa aprox para el flujo de baja resolución

$\phi(r) = 1$ → se usa aprox para el flujo de alta resolución